



اثرات گرمای ژول در جریان الکترواسمتیک درون یک ریز مجراء با سطح مقطع ذوزنقه‌ای

محمد مهدی افسری^۱، سیدعلی میربزرگی^{۲*}

۱- دانشجوی کارشناسی ارشد مهندسی مکانیک، دانشگاه بیرجند، بیرجند

۲- استادیار گروه مهندسی مکانیک، دانشگاه بیرجند، بیرجند

* بیرجند، صندوق پستی ۹۷۱۷۵/۶۱۵، seyed.ali.mirbozorgi@gmail.com

چکیده- بررسی جریان در ریز مجراءها اخیراً شتاب قابل توجهی گرفته است. در مقاله حاضر، حل عددی اثرات گرمای ژول در جریان الکترواسمتیک درون یک ریز مجراء با سطح مقطع ذوزنقه‌ای شکل و دیواره دماتثبت ارائه شده است. معادله انرژی برای توزیع دما، معادله ناویر استوکس برای توزیع سرعت و یک معادله پواسون برای توزیع پتانسیل الکتریکی به روش حجم محدود در مختصات عمومی حل شده است. در عین حال خواص ترموفیزیکی سیال نظری لزجت دینامیکی و رسانندگی الکتریکی تابع تغییرات دما درنظر گرفته شده است. نتایج نشان می‌دهد که افزایش عدد ژول موجب افزایش دما، سرعت و دبی در هر مقطع کانال می‌شود. در صورت درنظر نگرفتن اثرات گرمای ژول، افزایش عدد ای‌دی‌ال موجب افزایش دبی می‌شود، اما با درنظر گرفتن اثرات گرمای ژول، تا عدد ای‌دی‌ال ۱۵ این افزایش ادامه دارد و پس از آن دبی کاهش می‌یابد.

کلیدواژه‌گان: جریان الکترواسمتیک، گرمای ژول، ریز مجراء ذوزنقه‌ای شکل، دیواره دماتثبت

Joule heating effects on electroosmotic flow through a microchannel with trapezoidal cross-section

M. M. Afsari¹, S. A. Mirbozorgi^{2*}

1- MSc. Student, Mech. Eng., Birjand Univ., Birjand, Iran

2- Assist. Prof., Mech. Eng., Birjand Univ., Birjand, Iran

* P. O. B. 97175/615 Tehran, seyed.ali.mirbozorgi@gmail.com

Abstract- Flow analysis in the microchannels has recently accelerated dramatically. In this paper, numerical investigation of Joule heating effects on the electroosmotic flow through a microchannel with the trapezoidal cross-section and constant wall temperature have been presented. The energy equation for the temperature distribution, Navier-Stokes equation for the velocity distribution and a Poisson equation for the electric potential distribution have been solved by using the finite-volume method in a system curvilinear coordinates. Thermophysical properties such as the dynamic viscosity and electric conductivity vary with temperature. Results show that by increasing the Joule number, the temperature, velocity and mass flow rate increase with constant EDL number. Without considering the Joule heating effects, the increments of EDL number causes in the mass flow rate to increase, but with considering the joule heating effects, the increasing of mass flow rate continues until EDL number 15 and after that the flow rate decreases. On the other hand, when the cross-section is reduced by the increasing aspect ratio, the joule number remains constant while the mean temperature decreases.

Keywords: Electroosmotic Flow, Joule Heating, Trapezoidal Microchannel, Constant Wall Temperature

مطالعه از تقریب دیبای-هوکل^۸ استفاده نموده‌اند. ماسلیا [۱۰] به مطالعه عددی جریان الکترواسمتیک با تغییرات سطح مقطع پرداخته است.

از طرف دیگر، در اثر اعمال میدان الکتریکی خارجی بر یون‌های باردار مجاور دیواره، گرمایی موسوم به گرمای ژول^۹ در سیال تولید می‌گردد. اثرات حرارتی این پدیده می‌تواند روی خواص ترموفیزیکی سیال موثر باشد بهویژه در حین انجام فعالیت‌های بیوشیمیایی این حرارت می‌تواند منشأ اثر قابل توجهی باشد [۱۱].

هوریوچی و دوتا [۱۲] توزیع دما، ضریب انتقال حرارت و عدد ناسلت یک جریان الکترواسمتیک درون ریزمجرای تخت را به صورت دوبعدی ارائه نموده‌اند. لیاو و همکاران [۱۳، ۱۴] با استفاده از روش گالرکین جریان‌های آمیخته الکترواسمتیک و فشارمحرك را در ریزمجراهای مثلثی‌شکل مطالعه نموده‌اند. آن‌ها نشان دادند که افزایش عدد ژول موجب افزایش میدان سرعت و میدان دمای محلول الکتروولیت در ریزمجراهای مثلثی‌شکل می‌شود. پراشانتا دوتا و همکاران [۱۵] جریان‌های آمیخته الکترواسمتیک و فشارمحرك در یک ریزمجرای مستقیم دوبعدی را حل نموده و نشان دادند عدد ناسلت این جریان مستقل از عدد پکلت حرارتی برای یک گرمای ژول مشخص و شار حرارتی اعمالی می‌باشد.

روش‌های ساخت معمول، تولید ریزمجراهایی با مقاطع هندسی مختلف نظیر مستطیلی، دایروی، مثلثی و ذوزنقه‌ای را امکان‌پذیر می‌نماید. استفاده از یک اچنت (Etchant)^{۱۰} ناهمسانگرد نظیر هیدروکسید پتاسیم (KOH) یا هیدروکسید تترامینیلامونیوم (TMAH) یک هندسه ذوزنقه‌ای یا مثلثی را در بستر سیلیکونی بسته به عمق اچینگ مجاز تولید می‌کند [۱۶]. مروری بر مقالات مختلف نشان می‌دهد اگر چه مطالعات زیادی روی ریزمجراهای ذوزنقه‌ای‌شکل انجام شده است [۲۲-۱۷]، اما تاکنون اثرات گرمای ژول در جریان منظری متواتر بررسی نشده است. بنابراین در مقاله حاضر این اثرات مورد مطالعه قرار گرفته است. حل تحلیلی جریان‌های الکترواسمتیک درون ریزمجرای ذوزنقه‌ای‌شکل بسیار مشکل

8. Debye-Huckle

9. Joule heating

10. ماده‌ای شیمیایی است که در فرایند ایجاد شیار مورد استفاده قرار می‌گیرد.

۱- مقدمه

در دهه‌های اخیر، پیشرفت روزافزون سیستم‌های ریزماشینی^۱، ریزالکترومکانیکی^۲ و ریزسیالی^۳ موجب شده است این سیستم‌ها مورد توجه بسیار زیادی قرار گیرند. این سیستم‌ها در زمینه‌های مختلف مهندسی نظیر درمان‌های بیولوژیکی و پزشکی، تحلیل‌های شیمیایی و تأمین انرژی کاربرد دارند [۳-۱]. یکی از اجزای اساسی این گونه سیستم‌ها، ریزمجراء^۴ می‌باشد. عموماً مجراهایی با ابعاد یا قطرهایی حدود میکرو ریزمجراء نامیده می‌شود که معمولاً نسبت سطح به حجم آنها زیاد است. لذا برخی از فرایندهای فیزیکی که در مجراهای بزرگ مهم نمی‌باشند، در این ریزمجراهای پدیده غالب خواهند بود. یکی از چنین فرایندها، که به بارهای الکترواستاتیکی موجود در دیواره‌ها وابسته است، جریان‌های الکتروکینتیک^۵ یا جریان‌های الکترواسمتیک^۶ می‌باشد [۴].

به طور کلی نشان داده شده است که جریان‌های الکترواسمتیک به وسیله اعمال میدان الکتریکی خارجی بر لایه بارداری که توسط برهم‌کنش میان یون‌های موجود در محلول الکتروولیت و بارهای ساکن روی دیواره‌ها شکل گرفته، ایجاد می‌شود. این لایه به همراه لایه باردار روی دیواره اصطلاحاً لایه دوگانه الکتریکی (ای‌دی‌آل)^۷ نامیده می‌شود [۵].

مطالعات اولیه روی جریان الکترواسمتیک توسط رایس و وايت هد [۶] انجام شده است. آن‌ها جریان پایدار سیال درون لوله استوانه‌ای موبین را بررسی نموده‌اند. همچنین، برگین و ناکاکه [۷] جریان الکتروکینتیک درون ریزمجرای موبین با سطح مقطع مستطیلی را به صورت تحلیلی مدل کرده‌اند. یانگ و لی [۸] و یانگ و همکاران [۹] جریان سیال فشار محرك در ریزمجراهای مستطیلی را در نظر گرفته‌اند. حل تحلیلی آن‌ها اثرات الکترو-ویسکوزیته را در نسبت‌های منظری گوناگون پیش‌بینی نموده است. علاوه بر آن، برای پتانسیل الکتریکی اعمالی عبارتی انتگرالی تابع عدد رینولدز برای غلظت‌های الکتروولیت و زتاپتانسیل‌های مختلف ارائه کرده‌اند و در هر دو

1. Micromachining
2. Micro electro mechanical
3. Microfluidic
4. Microchannel
5. Electrokinetic flow
6. Electroosmotic flow
7. EDL- Electric Debye Layer

که ϵ_0 و e به ترتیب گذردهی خلا و ثابت گذردهی الکتروولیت می‌باشند. در حالت توسعه‌یافته یونی توزیع ρ_e توسط توزیع نمایی موسوم به توزیع بولتزمن^{۱۱} [۱۱] بیان می‌شود.

$$\rho_e = 2n_{\infty}ze \sinh\left(\frac{-\psi}{k_bT/ze}\right) \quad (4)$$

که n_{∞} ، e ، k_B و T به ترتیب غلظت یون‌ها در محلول الکتروولیت، عدد الاتن یون‌ها، ثابت بولتزمن، بار الکترون و دمای محلی می‌باشند.

در صورتی که پتانسیل الکتریکی بسیار کوچک‌تر از انرژی گرمایی یون‌ها باشد ($ze \ll k_bT$) (رابطه ۴) با استفاده از تقریب دیبای-هوکل به صورت زیر ساده می‌شود:

$$\rho_e = -\frac{2n_{\infty}z^2e^2\psi}{k_bT} \quad (5)$$

معادلات (۱) و (۳) به دما وابسته‌اند؛ از این رو برای حل این معادلات لازم است ابتدا توزیع دمای محلول معین باشد. در جریان الکترواسمتیک دمای محلول به گرمای ژول و انتقال حرارت وابسته است. در این حالت معادله انرژی به صورت زیر بیان می‌شود:

$$\rho c_p w \frac{\partial T}{\partial z} = k(\nabla^2 T) + \dot{q} \quad (6)$$

که در آن ρ چگالی سیال، c_p گرمای ویژه سیال، k رسانندگی حرارتی و \dot{q} منبع حرارتی ناشی از مقاومت الکتریکی الکتروولیت در برابر میدان الکتریکی خارجی می‌باشد و اصطلاحاً به آن گرمای ژول گفته می‌شود. گرمای ژول بر اساس قانون اهم از رابطه زیر به دست می‌آید:

$$\dot{q} = \sigma E^2 \quad (7)$$

که در رابطه (۷) σ رسانندگی الکتریکی سیال می‌باشد. فرم بی‌بعد معادلات حاکم به صورت زیر می‌باشد.

$$\frac{\partial^2 W}{\partial X^2} + \frac{\partial^2 W}{\partial Y^2} + \frac{\kappa^2 \psi}{\eta(\theta + 1)} = 0 \quad (8)$$

$$\frac{\partial^2 \psi}{\partial X^2} + \frac{\partial^2 \psi}{\partial Y^2} - \frac{\kappa^2 \psi}{\theta + 1} = 0 \quad (9)$$

$$Pe\beta \frac{\partial \theta}{\partial Z} = \frac{\partial^2 \theta}{\partial X^2} + \frac{\partial^2 \theta}{\partial Y^2} + \beta^2 \frac{\partial^2 \theta}{\partial Z^2} + \frac{D_h^2 E^2 \sigma}{kT_0} \quad (10)$$

که در این روابط $K = KH$ پارامتر ضخامت ایدیال، $K = \sqrt{\frac{2n_{\infty}z^2e^2}{\varepsilon\varepsilon_0 k_b T_0}}$ لزجت دینامیکی بی‌بعد و $\theta = \mu/\mu_0$ پارامتر دیبای-هوکل که معرف عکس ضخامت ایدیال است.

است. برای این گونه جریان‌ها معادلات ناویراستوکس برای جریان محلول الکتروولیت قویاً با معادله انرژی و معادله حاکم بر پتانسیل الکتریکی وابسته می‌باشد. در این مقاله، این معادلات با استفاده از روش حجم محدود در مختصات عمومی مقطع حل شده‌اند.

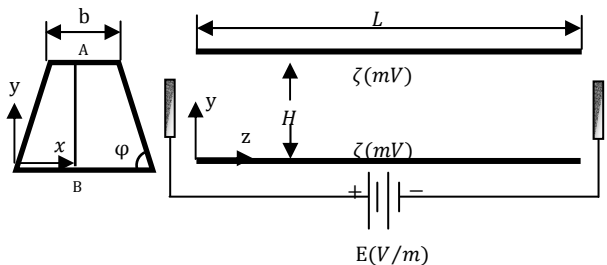
۲-معادلات حاکم

شکل ۱ حوزه هندسی یک ریز مجرای ذوزنقه‌ای شکل را نشان می‌دهد. برای معرفی هندسه سطح مقطع، نسبت منظری $\alpha = H/b$ و زاویه φ به عنوان داده‌های ورودی معین شده‌اند و به منظور سهولت هر چه بیشتر، زاویه $\varphi = 45^\circ$ و ارتفاع ریز مجرای H ثابت فرض شده است. طول ریز مجرای در جهت جریان به قدر کافی بزرگ است، به طوری که جریان در طول کanal توسعه یافته هیدرودینامیکی می‌باشد. در کار حاضر فرضیات پایدار، آرام و غیرقابل تراکم بودن جریان در نظر گرفته شده‌اند؛ بنابراین معادله حاکم بر جریان به صورت زیر می‌باشد.

$$\mu \nabla^2 w + f_z = 0 \quad (1)$$

که در آن μ لزجت دینامیکی، w مولفه سرعت سیال در جهت Z و f_z نیروی حجمی الکترواسمتیک ناشی از اثرات الکتروکینتیک بر جریان الکتروولیت می‌باشد و برابر است با:

$$f_z = \rho_e E \quad (2)$$

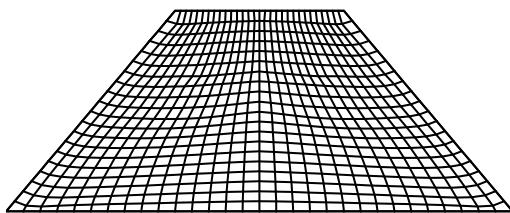


شکل ۱ هندسه جریان و مختصات در نظر گرفته شده

در رابطه (۲)، ρ_e چگالی خالص بار الکتریکی و E مولفه میدان الکتریکی خارجی در جهت Z می‌باشد. رابطه چگالی خالص الکتریکی با پتانسیل الکتریکی $(x, y) \psi$ در ناحیه ایدیال براساس یک معادله پواسون به صورت زیر بیان می‌شود:

$$\nabla^2 \psi = -\frac{\rho_e}{\varepsilon_0 \varepsilon} \quad (3)$$

در مقاله حاضر، از شبکه‌بندی غیرمعتمد تولیدشده به روش جبری استفاده شده است. در شکل ۲ یک شبکه درشت نشان داده شده است.



شکل ۲ نمونه شبکه تولیدشده به روش جبری

۳- شرایط مرزی

با توجه به فرض توسعه‌یافتنگی هیدرودینامیکی و یونی در معادلات (۸) و (۹)، نیازی به شرایط مرزی در ورودی و خروجی نیست. روی دیواره‌ها شرط عدم لغزش درنظر گرفته شده است. دیواره‌ها دمای ثابت و پتانسیل الکتریکی دیواره‌ها ثابت و به اندازه زتا (V) می‌باشد. بنابراین شرایط مرزی به قرار زیر می‌باشند.

$$w = 0; T = T_0; \psi = \zeta \quad (12)$$

۴- نتایج

در مطالعه حاضر، سیال عامل محلول آب با یون‌های K^+ و Cl^- است. خواص ترموفیزیکی و ثابت‌های مورد استفاده در جدول ۱ ارائه شده است.

جدول ۱ مقادیر خواص و ثابت‌های مورد استفاده در پژوهش حاضر

مقادیر مورد استفاده [واحد]	پارامتر
$10 [\mu\text{m}]$	ارتفاع ریز مجرای (H)
$5 \sim 100 [\text{mV}]$	زتا پتانسیل (ζ)
$1/0.6 \times 10^{-16} [\text{C}]$	بار الکترون (e)
$1/3.8 \times 10^{-37} [\text{J/K}]$	ثابت بولتزمن (k_B)
۸۰	ثابت گذردهی الکتروولت (ϵ)
$8/854 \times 10^{-12} [\text{C/V.m}]$	گذردهی الکتریکی خلا (ϵ_0)
۱	عدد والانس (z)
$1 \times 10^{-3} [\text{Pa.s}]$	لزجت دینامیکی (μ_0)
$1 \times 10^{-3} [\text{kg/m}^3]$	چکالی سیال (ρ)

همچنین $Z = z/L$, $Y = y/H$, $X = x/H$ مولفه‌های مختصات کارتزین بی بعد و $W = w/U_{ref}$ سرعت بی بعد می‌باشد که در آن U_{ref} سرعت هلمهلتز- اسمولوکفسکی^{۱۲} و برابر $\theta = \frac{T-T_0}{T_0}$ است. $\Psi = \psi/\zeta$ و $\beta = \frac{H}{L}$ به ترتیب پتانسیل الکتریکی بی بعد و دمای بی بعد و نسبت ارتفاع به طول ریز مجرای می‌باشد.

در این پژوهش لزجت دینامیکی و رسانندگی الکتریکی به ترتیب با روابط $\mu = 2.761 \times 10^{-6} \exp\left(\frac{1713}{T}\right)$ و $\sigma = \sigma_0(1 + 0.025(T - T_0))$ [۱۴, ۱۳] وابسته به دما تعريف شده‌اند که در آن $T_0 = 298\text{K}$ دمای مرجع، T بر حسب کلوین و $(\Omega^{-1}m^{-1}) = 0.01264$ می‌باشند.

در این پژوهش با معادله انرژی (۱۰) باید گفت که با توجه به فرض $\frac{H}{L} \ll 1$ و $Pe \in (1-10)$ جملات مربوط به تغییرات دما در راستای جریان قابل صرف‌نظر کردن بوده و حذف شده‌اند، علی‌رغم اینکه جریان فرض‌های توسعه‌یافتنگی حرارت را نداشته است. بنابراین معادله انرژی به صورت زیر ساده می‌شود.

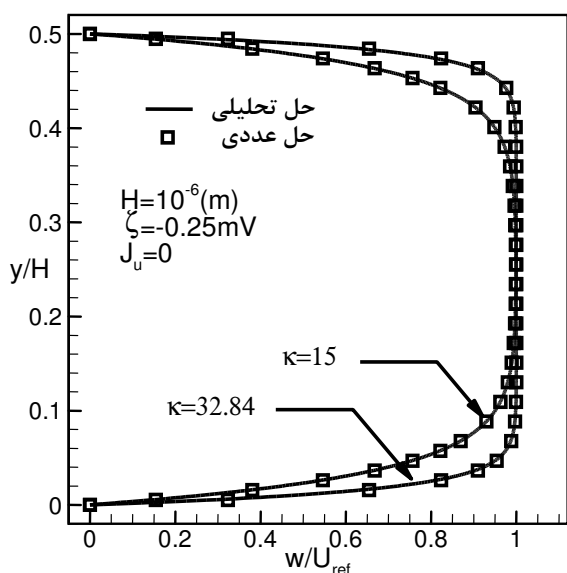
$$\frac{\partial^2 \theta}{\partial X^2} + \frac{\partial^2 \theta}{\partial Y^2} + J_u(1 + \xi \theta) = 0 \quad (11)$$

که در آن پارامتر بی بعد $J_u = \sigma_0 H^2 E^2 / kT_0$ عدد ژول نامیده شده و بیان‌کننده نسبت حرارت تولیدشده ناشی از گرمای ژول به حرارت می‌باشد و $= 0.025T_0 = \xi$ ضریب بی بعد دمایی رسانندگی الکتریکی می‌باشد.

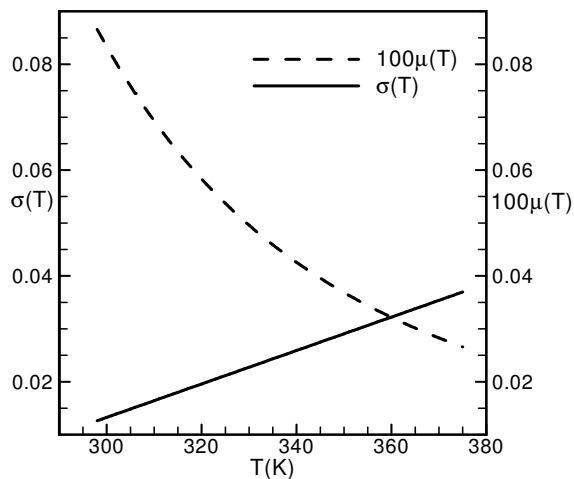
با توجه به شکل معادلات حاکم در شرایط مسئله و یکسان بودن مشخصات دینامیکی جریان در راستای جریان می‌توان این سه معادله، که از طریق میدان دما به یکدیگر وابسته‌اند، را در قالب معادله پواسون به روش حجم محدود در مختصات عمومی هر مقطع حل نمود و صرفاً نتایج مربوط به یک سطح مقطع دلخواه را به عنوان نماینده تمام مقاطع استخراج و گزارش نمود.

محاسبات با حل معادله (۱۱) جهت به دست آوردن توزیع دمای بی بعد برای گرمای ژولی معین آغاز می‌شود و سپس معادلات (۹) و (۸) به ترتیب برای تعیین توزیع میدان پتانسیل الکتریکی و میدان سرعت ادامه می‌یابد. در هر مرحله از حل عددی هر یک از معادلات، شرط توقف همگرایی زمانی تعیین شده است که باقی‌مانده بی بعد هر معادله به 10^{-14} رسیده باشد.

12. Helmholtz-Smoluchowski



شکل ۴ توزیع سرعت در راستای خط AB برای جریان الکترواسمتیک بین دو صفحه موازی با $\zeta = -25\text{mV}$ ، $\kappa = 32.84$ و $\kappa = 15$



شکل ۵ تغییرات لزجت دینامیکی و رسانندگی الکتریکی بر حسب تغییرات دما

همانطور که مشاهده می‌شود، افزایش دما موجب کاهش نمایی لزجت و افزایش خطی رسانندگی الکتریکی شده است. کاهش لزجت با افزایش دما امری بدیهی است و افزایش رسانندگی الکتریکی به دلیل حرکت آسان تر یون‌ها در الکتروولیت گرم‌تر توجیه پذیر است. کاهش لزجت یکی از عوامل افزایش سرعت در ریزمنجر می‌باشد و افزایش رسانندگی الکتریکی افزایش تولید گرمای ژول را دربی دارد.

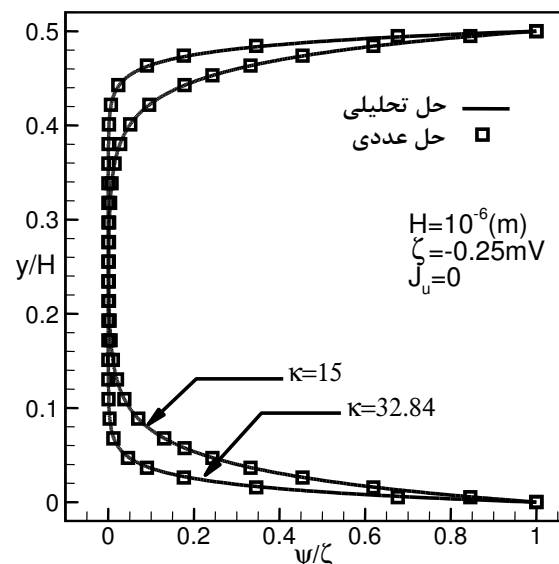
اعتبارسنجی کد نوشته شده با مقایسه نتایج حل عددی جریان الکترواسمتیک بین دو صفحه موازی در نسبت منظری $\alpha \rightarrow 0$ و حل تحلیلی موجود برسی و دقت نتایج تا مرتبه 10^{-14} گزارش شده است. معادلات (۱۳) و (۱۴) حل تحلیلی موجود برای توزیع سرعت و پتانسیل الکتریکی را نشان می‌دهند [۴].

شکل ۲ و ۴ تطبیق مناسب نتایج تحلیلی و عددی مربوط به توزیع پتانسیل الکتریکی و توزیع سرعت جریان الکترواسمتیک بین دو صفحه موازی را نشان می‌دهند. نکته‌ای که در اینجا باید بیان شود آن است که همواره میدان الکتریکی اعمالی در جریان الکترواسمتیک موجب پدیدآمدن گرمای ژول می‌شود، اما از آنجا که این حرارت تولیدی در میدان‌های الکتریکی کوچک ناچیز است، می‌توان از آن صرف‌نظر نمود و تاثیرات دما را در معادله ممنتوه و معادله حاکم بر پتانسیل الکتریکی در نظر نگرفت. در اینجا عبارت $J_u = 0$ معادل درنظر نگرفتن این اثرات حرارتی می‌باشد.

$$\psi = \frac{\cosh(\kappa(y/H - 1/2))}{\cosh(\kappa)} \quad (13)$$

$$\frac{w}{U_{ref}} = 1 - \frac{\cosh(\kappa(y/H - 1/2))}{\cosh(\kappa)} \quad (14)$$

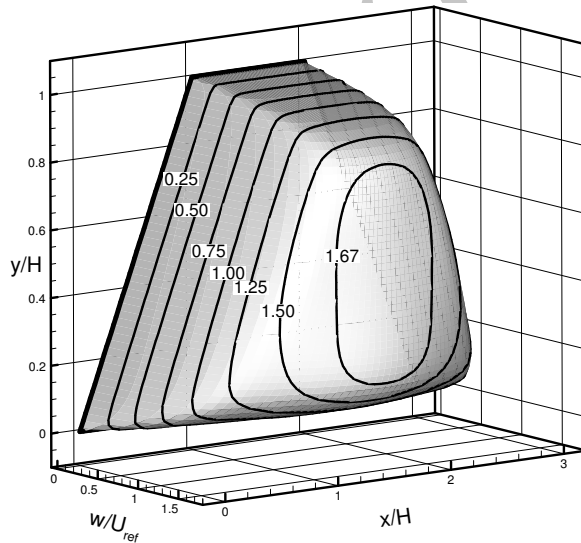
شکل ۵ تغییرات لزجت دینامیکی و رسانندگی الکتریکی سیال (الکتروولیت) را با دما نشان می‌دهد.



شکل ۳ توزیع پتانسیل الکتریکی در راستای خط AB برای جریان الکترواسمتیک بین دو صفحه موازی با $\zeta = -25\text{mV}$ ، $\kappa = 32.84$ و $\kappa = 15$

خطوط هم تراز در ناحیه مرکزی مقطع ذوزنقه‌ای کاملاً تخت هستند و سرعت در این ناحیه بیشینه مقدار خود را دارد می‌باشد. تختگون بودن خطوط هم تراز سرعت نشان می‌دهد که در ناحیه مرکزی ریز مجرأ تقریباً یک جریان غیر لزج در جریان است. در اینجا سرعت‌ها با سرعت هلمهلت-اسمولوکفسکی بی‌بعد شده‌اند و این در حالی است که این سرعت، بیشینه سرعت جریان الکترواسمتیک بین دو صفحه موازی است. بنابراین بیشینه سرعت بی‌بعد شده در ریز مجرای ذوزنقه‌ای در حالت بدون اثرات گرمای ژول ($J_u = 0$)، مطابق شکل ۷، $E/115$ شده است. غالب است که در این حالت چنانچه افزایش یابد، در معادله ممنتوم اگرچه سرعت جریان بیشتر خواهد شد، اما توزیع بی‌بعد سرعت همواره ثابت خواهد بود.

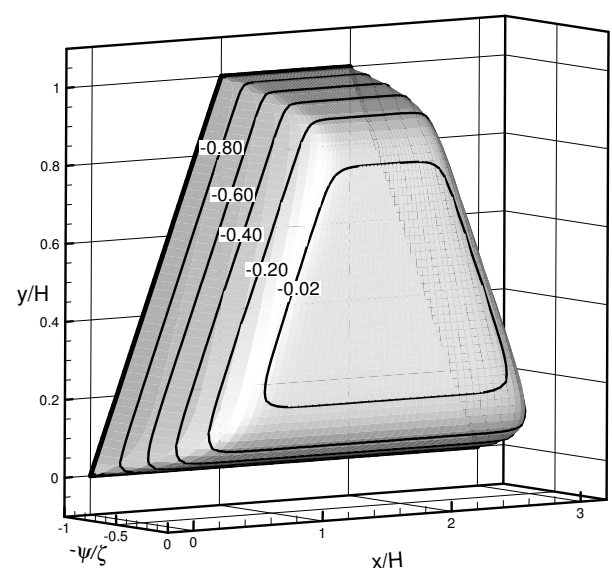
شکل ۸ توزیع سرعت در ریز مجرای ذوزنقه‌ای شکل را با درنظر گرفتن اثرات گرمای ژول نشان می‌دهد. درنظر گرفتن این اثرات موجب افزایش سرعت نسبت به حالت بدون اثرات گرمای ژول شده است. درنظر گرفتن این اثرات، مطابق شکل ۹، موجب افزایش دمای سیال شده است. خطوط هم تراز دما نشان می‌دهد که با دورشدن از دیواره‌ها دما افزایش می‌یابد و بیشینه دما در ناحیه مرکزی ریز مجرأ رخ داده است. با توجه به اثر مستقیم دما در معادله ممنتوم و لزجت دینامیکی، این افزایش دما موجب می‌شود سرعت بی‌بعد نسبت به حالت بدون اثرات گرمای ژول افزایش یابد.



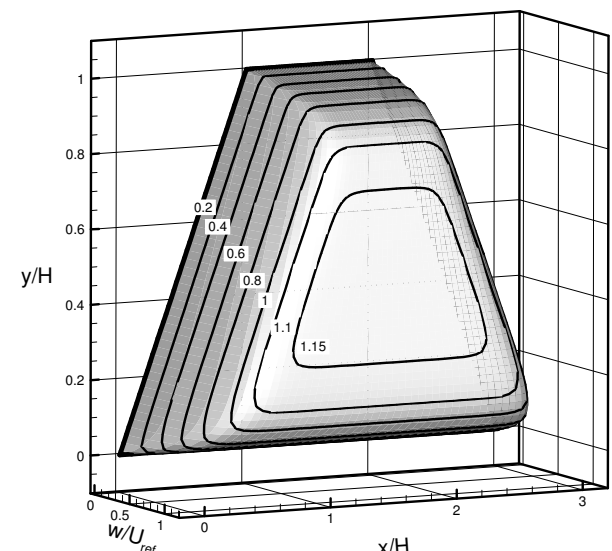
شکل ۸ توزیع سرعت با $\alpha = 1$ ، $\kappa = 20$ و $J_u = 1$

شکل ۶ توزیع پتانسیل الکتریکی در ریز مجرای ذوزنقه‌ای را بدون درنظر گرفتن اثرات حرارتی نشان می‌دهد. مشاهده می‌شود خطوط هم تراز در ناحیه مرکزی مقطع ذوزنقه‌ای کاملاً تخت می‌باشد. پتانسیل الکتریکی در ناحیه مرکزی ریز مجرأ به صفر میل می‌کند حال آنکه کنار دیواره‌ها مقدار بی‌بعد ۱ را دارد.

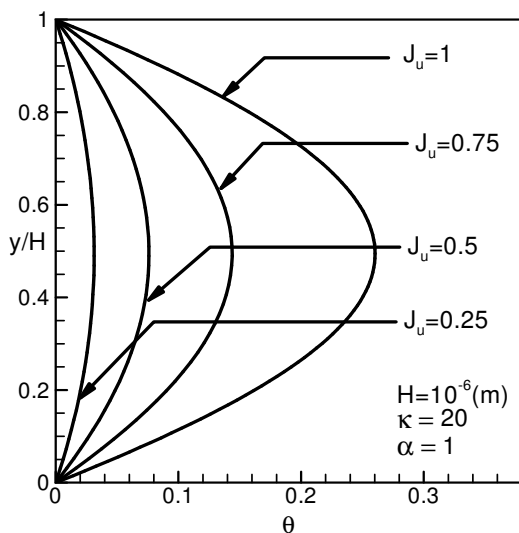
شکل ۷ توزیع سرعت در ریز مجرای ذوزنقه‌ای شکل را بدون درنظر گرفتن اثرات گرمای ژول نشان می‌دهد.



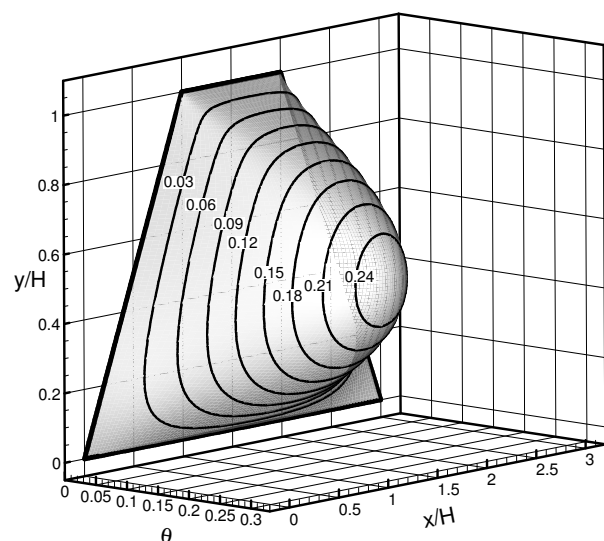
شکل ۶ توزیع پتانسیل الکتریکی با $V = -25 \text{ mV}$ ، $\kappa = 20$ ، $\alpha = 1$ و $J_u = 0$.



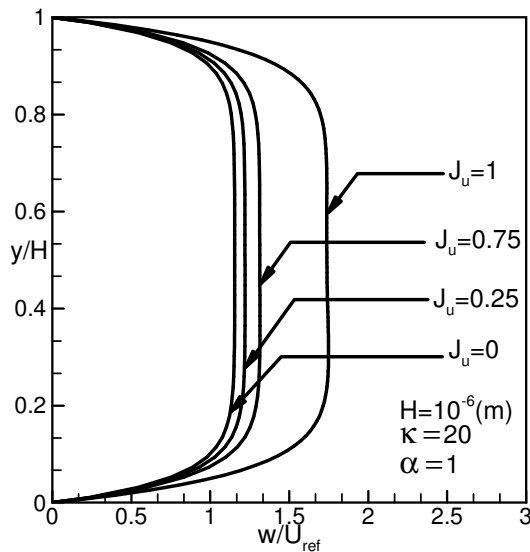
شکل ۷ توزیع سرعت با $\alpha = 1$ ، $\kappa = 20$ و $J_u = 1$



شکل ۱۰ توزیع دما در راستای خط AB بر حسب تغییرات عدد ژول
 $\alpha = 1$ و $\kappa = 20$



شکل ۹ توزیع دما با $\alpha = 1$, $J_u = 1$, $\kappa = 20$ و



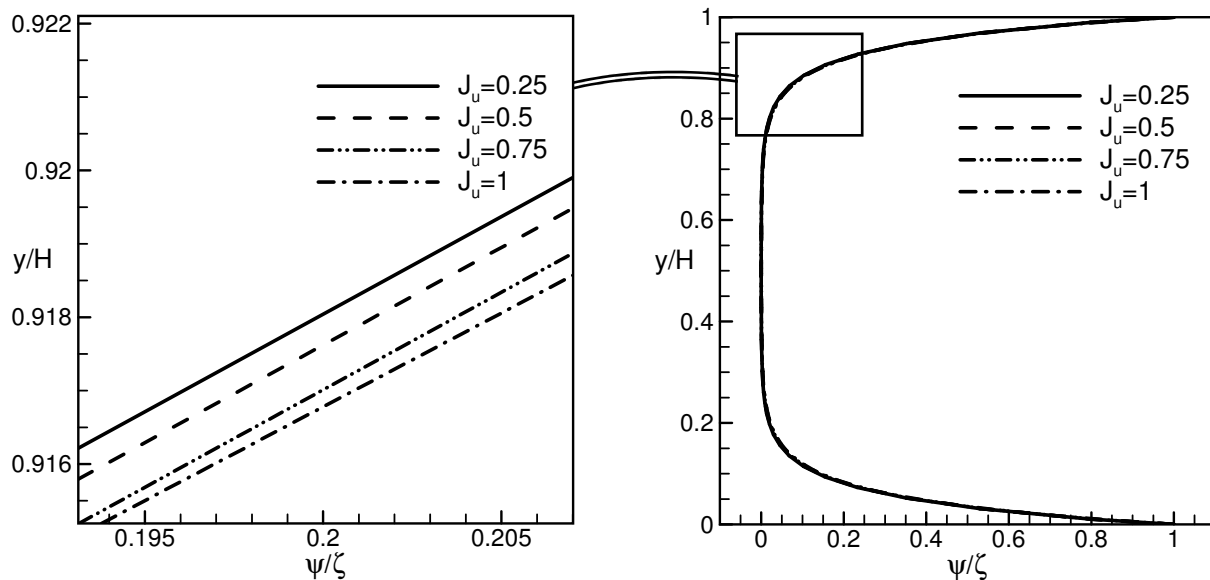
شکل ۱۱ توزیع سرعت در راستای خط AB بر حسب تغییرات عدد ژول در
 $\alpha = 1$ و $\kappa = 20$

شکل ۱۳ تغییرات دمای میانگین، سرعت میانگین و دبی را با تغییرات عدد ژول در $\alpha = 1$ و $\kappa = 20$ نشان می‌دهد که دمای میانگین از رابطه $\theta_m = \frac{\int u(x,y)\theta(x,y)dA}{\int u(x,y)dA}$ محاسبه شده است. مشاهده می‌شود، با افزایش عدد ژول، هر سه متغیر افزایش یافته‌اند با این تفاوت که نرخ تغییرات سرعت میانگین شکل ۱۳ تغییرات دمای میانگین، سرعت میانگین و دبی را با تغییرات عدد ژول در $\alpha = 1$ و $\kappa = 20$ نشان می‌دهد که دمای میانگین از رابطه $\theta_m = \frac{\int u(x,y)\theta(x,y)dA}{\int u(x,y)dA}$ محاسبه شده است.

شکل ۱۰ و ۱۱ به ترتیب توزیع دما و توزیع سرعت در راستای خط AB از مقطع ریزمنجرا (رجوع شود به شکل ۱) را بر حسب تغییرات عدد ژول در $\kappa = 20$ و $\alpha = 1$ نشان می‌دهند. مطابق شکل ۱۰ افزایش عدد ژول تأثیر بسیار زیادی در افزایش دما دارد به گونه‌ای که بیشینه دمای بی بعد در حالت $J_u = 1$ حدود 0.26 می‌باشد؛ بدان معنا که دمای مرکز ریزمنجرا $1/26$ برابر دمای دیواره‌ها یعنی دمای مرجع شده است. شایان ذکر است که این افزایش دما بر اساس تعریف عدد ژول از طریق افزایش میدان الکتریکی E صورت پذیرفته است و با توجه به معادله انرژی افزایش E در جمله چشم موجب افزایش دما گردیده است.

مطابق شکل ۱۱، توزیع سرعت با افزایش دما افزایش بسیار زیادی پیدا کرده است و مقدار بیشینه سرعت تقریباً در وسط خط AB رخ داده است. افزایش سرعت با توجه به معادله ممتوnom می‌تواند از طریق افزایش نیروی حجمی یا کاهش لزجت صورت پذیرد.

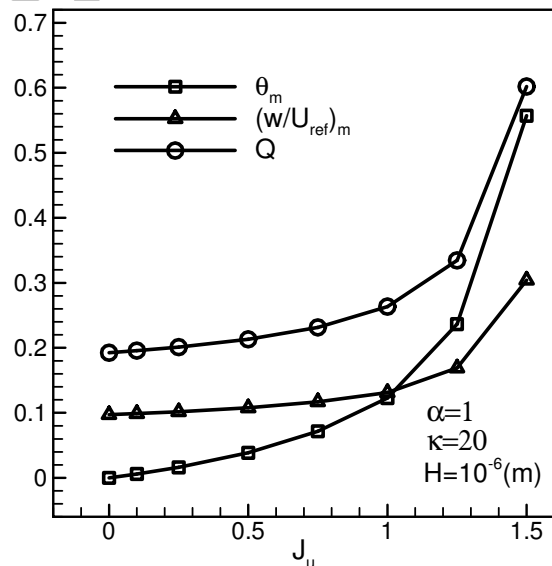
مطابق شکل ۱۲، توزیع پتانسیل الکتریکی، که یکی از عوامل اصلی در تولید نیروی حجمی الکترواسمتیک می‌باشد، با افزایش دما تغییرات ناچیزی داشته است و نباید موجب این تغییرات شدید سرعت شده باشد. آنچه که موجب این تغییرات شده است لزجت دینامیکی سیال بوده است که عاملی مقاوم در برابر حرکت سیال می‌باشد و با افزایش دما کاهش یافته است.



شکل ۱۲ (الف) توزیع پتانسیل الکتریکی در راستای خط AB بر حسب تغییرات عدد ژول در $\kappa = 20$ و $\alpha = 1$ (ب) بزرگنمایی شده ناحیه مشخص شده در شکل الف

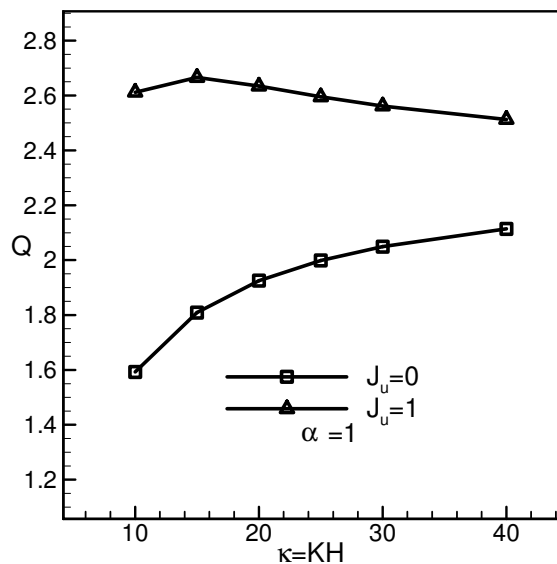
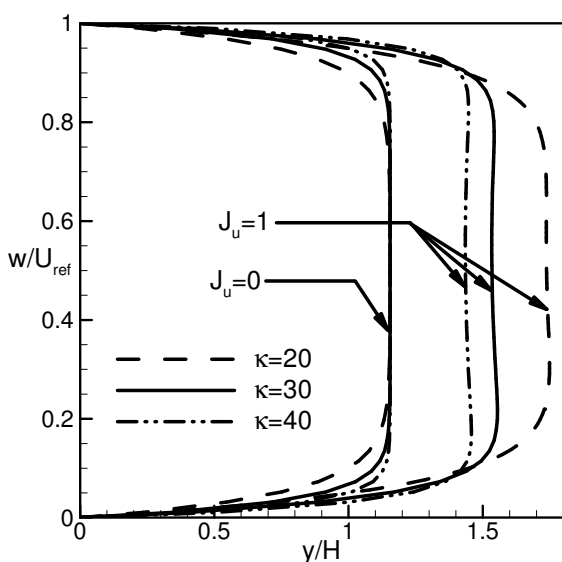
لزجت شده است و این کاهش، افزایش سرعت میانگین را نتیجه می‌دهد. در یک سطح مقطع ثابت، افزایش سرعت میانگین به معنای افزایش دبی خواهد بود. علت تفاوت میزان تغییرات متغیر دمای میانگین با سرعت میانگین و دبی در ماهیت معادله انرژی می‌باشد. این معادله مستقل از معادله ممنتوم می‌باشد و این در حالی است که معادله ممنتوم به دما وابسته است؛ بدین منظور میزان تغییرات دما و سرعت با افزایش عدد ژول متفاوت است. اما از آنجا که سطح مقطع ثابت و سیال عامل تراکم‌ناپذیر است، طبق تعریف دبی حجمی تغییرات سرعت و دبی با ضریبی ثابت به هم وابسته‌اند؛ بنابراین میزان تغییرات آن‌ها با عدد ژول یکسان است.

شکل ۱۴ تغییرات دمای میانگین و سرعت میانگین در $\kappa = 20$ و $\alpha = 1$ را با نسبت منظری α نشان می‌دهد. حالتهای حدی $\alpha \rightarrow 0$ و $\alpha \rightarrow \infty$ معرف دو صفحه موازی و $\alpha = 1$ معرف مقطع مثلثی می‌باشد. مشاهده می‌شود که با افزایش نسبت منظری دمای میانگین و سرعت میانگین کاهش می‌یابد. میزان حرارت تولیدی ناشی از گرمای ژول درون ریز مجرأ برابر $\dot{q} = LA\sigma E^2$ است. این حرارت تولیدی از طریق جابه‌جای طبق رابطه $\dot{q} = hS(T_{ave} - T_{wall})$ از سطح جانبی ریز مجرأ خارج می‌شود که در این روابط A سطح مقطع و S سطح جانبی ریز مجرأ می‌باشند. دمای میانگین از برابری این دو مقدار



شکل ۱۳ تغییرات دبی، دمای میانگین و سرعت میانگین بر حسب تغییرات عدد ژول در $\kappa = 20$ و $\alpha = 1$

مشاهده می‌شود با افزایش عدد ژول، هر سه متغیر افزایش یافته‌اند با این تفاوت که نرخ تغییرات سرعت میانگین و دبی تقریباً برابر است، اما دمای میانگین با نرخ بیشتری افزایش یافته است. طبق معادله انرژی، افزایش عدد ژول به معنای افزایش مقدار جمله چشم می‌باشد و بدین ترتیب دما در ریز مجرأ افزایش داشته است. افزایش دما موجب کاهش شدید

شکل ۱۵ تغییرات دبی بر حسب عدد ایدیال در $\alpha = 1$ شکل ۱۶ توزیع سرعت در راستای خط AB بر حسب تغییرات عدد ایدیال در $\alpha = 1$

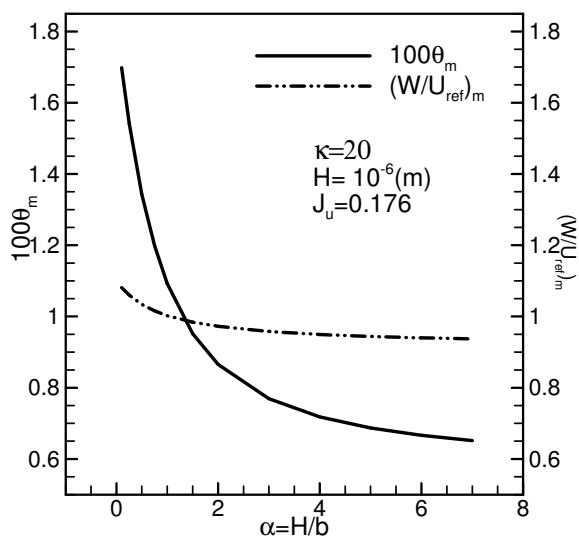
افزایش عدد ژول از 0^+ به ۱ موجب می‌شود دمای سیال افزایش یابد و در نتیجه این افزایش دما، لزجت نسبت به حالت درنظر نگرفتن اثرات گرمای ژول ($J_u = 0^+$), بهویژه در ناحیه مرکزی ریزمند است. افزایش دما بیشتر است، کاهش یابد. مشاهده می‌شود تا اعداد ایدیال حدود ۱۵ این کاهش لزجت موجب افزایش دبی شده است، اما با افزایش عدد ایدیال دبی کاهش یافته است. طبق معادله ممتومن، عامل حرکت سیال نیروی حجمی می‌باشد. این نیرو با دورشدن از دیوارهای و عبور

به صورت $T_{ave} = T_{wall} + \frac{LA(\sigma E^2)}{hs}$ حاصل می‌شود. از آنجا که دمای دیوارهای T_{wall} و مقدار $\frac{L(\sigma E^2)}{h}$ ثابت است، بنابراین مقدار دمای میانگین با نسبت سطح مقطع به سطح جانبی ریزمند است. از سوی دیگر مقدار $\frac{A}{S}$ از رابطه زیر به دست می‌آید:

$$\frac{A}{S} = \frac{H(1+\alpha)}{2(1+\alpha(1+\sqrt{2}))} \quad (15)$$

طبق رابطه (۱۵)، با توجه به ثابت بودن ارتفاع ریزمند H با افزایش نسبت منظری، مقدار $\frac{A}{S}$ کاهش می‌یابد و در نتیجه دمای میانگین مقطع کاهش خواهد یافت. کاهش دمای میانگین موجب افزایش لزجت دینامیکی و کاهش چگالی خالص بار الکتریکی به عنوان یک عامل تولید نیروی حجمی می‌شود و در نتیجه سرعت سیال کاهش می‌یابد.

شکل ۱۵ تغییرات دبی حجمی با عدد ایدیال را در $\alpha = 1$ و دو عدد ژول مختلف نشان می‌دهد. مشاهده می‌شود که با افزایش عدد ایدیال در $J_u = 0$ دبی جریان افزایش یافته است. افزایش عدد ایدیال در یک سطح مقطع ثابت ناشی از کاهش ضخامت ایدیال می‌باشد. هرچه ضخامت ایدیال کاهش یابد نیروی حجمی وارد بر الکتروولیت افزایش می‌یابد و مطابق شکل ۱۶ اگرچه بیشینه سرعت ثابت است، اما ناحیه تختگون توزیع سرعت افزایش یافته است. در نتیجه، با توجه به ثابت بودن سطح مقطع، دبی افزایش یافته است.

شکل ۱۴ تغییرات دمای میانگین، سرعت میانگین و سطح مقطع با نسبت منظری α

طول ریز مجراء [m]	L
پارامتر دیبای-هوكل [m^{-1}]	K
غلظت یونی محلول [ions/m^3]	n_0
دبي حجمی بی بعد	Q
منبع حرارتی [W/m^3]	\dot{q}
دما [K]	T
سرعت هلموهلتز-اسمولوکفسکی [m/s]	U_{ref}
سرعت بی بعد و بعددار	w, W
مختصات کارتزین [m]	x, y, z
مختصات کارتزین بی بعد	X, Y, Z
عدد والانس یون‌ها	Z
علایم یونانی	
نسبت منظری	α
رسانندگی الکتریکی [$1/\Omega m$]	σ, σ_0
نسبت ارتفاع به طول ریز مجراء	β
ضریب لزجت دینامیکی [Pa.s]	μ
چگالی سیال [kg/m^3]	ρ
دمای بی بعد	θ
گذردهی الکتروولیت	ϵ
گذردهی الکتریکی خلا [C/V.m]	ϵ_0
پتانسیل زتا [V]	ζ
ضریب بی بعد دمایی رسانندگی الکتریکی	ξ
چگالی خالص بار الکتریکی [C/m^3]	ρ_e
پتانسیل الکتریکی بی بعد و با بعد	ψ
عدد ایدیال [1/m]	κ

۷- مراجع

- [1] Wang P., Chen Z. L., Chang H. C., "A New Electro-Osmotic Pump Based on Silica Monoliths, Sens", *Actuator B*, Vol. 113, 2006, pp. 500-509.
- [2] Sun Y., Lim C. S., Liu A. Q., Ayi T. C., Yap P. H., Design, 2007, "Simulation and Experiment of Electroosmotic Microfluidic Chip for Cell Sorting", *Sens. Actuator A: Phys.* Vol. 133, 2006, pp. 340-348.
- [3] Yang L., He Y.Z., Gan W., Li M., Qu Q.S., Lin X.Q., "Determination of Chromium(VI) and Lead (II) in Drinking Water by Electrokinetic Flow Analysis System and Graphite Furnace Atomic

از ایدیال کاهش می‌باید، زیرا چگالی خالص الکتریکی طبق معادله ۵ به صورت نمایی کاهش می‌باید. عامل اصلی حرکت سیال در این ناحیه لزجت سیال می‌باشد و چون با افزایش عدد ایدیال ناحیه‌ای که باید توسط لزجت حرکت یابد افزایش یافته است و از طرفی لزجت کاهش یافته، بیشینه سرعت در وضعیتی که لزجت در عرض کانال ثابت نمانده است، توزیع سرعت از تختگون بودن خارج شده و فرورفتہ شده است و درنتیجه دبی جریان کاهش یافته است.

۵- نتیجه‌گیری

در این مقاله اثرات گرمای ژول بر جریان الکترواسمتیک درون یک ریز مجرای ذوزنقه‌ای شکل بررسی شد. نتایج نشان داد که درنظر گرفتن اثرات ژول موجب تولید حرارت می‌شود و این تولید حرارت افزایش دما را دریی دارد. افزایش دما خواص ترموفیزیکی سیال را تحت تاثیر قرار می‌دهد به گونه‌ای که لزجت به صورت نمایی کاهش یافته در حالی که رسانندگی الکتریکی خطی افزایش می‌باید. افزایش عدد ژول موجب افزایش دما، کاهش لزجت و در نتیجه افزایش سرعت و دبی در یک نسبت منظری و عدد ایدیال ثابت می‌شود، در حالی اثر ناچیزی بر توزیع پتانسیل الکتریکی یا به عبارت بهتر بر نیروی حجمی دارد. افزایش نسبت منظری در یک عدد ایدیال ثابت موجب کاهش دمای میانگین و سرعت میانگین می‌شود. افزایش عدد ایدیال، در حالت درنظر نگرفتن گرمای ژول، موجب افزایش دبی می‌شود، اما با درنظر گرفتن اثرات گرمای ژول این افزایش تا عدد ایدیال ۱۵ ادامه دارد و پس از آن کاهش می‌باید.

۶- فهرست علایم

شدت میدان الکتریکی اعمالی [V/m]	E
بار الکترون [C]	e
نیروی حجمی [N/m^3]	f_z
ارتفاع ریز مجراء [m]	H
عدد ژول	J_u
رسانندگی حرارتی سیال [$W/m.K$]	k
ثابت بولتزمن [J/K]	k_b

- [15] Dutta P., Horiuchi K., Hossain A., "Joule-Heating Effects in Mixed Electro-Osmotic and Pressure-Driven Microflows under Constant Wall Heat Flux", *J. Engineering Mathematics*, Vol. 54, 2005, pp. 159-180.
- [16] Mc Hale J. P., Garimella S. V., "Heat Transfer in Trapezoidal Microchannels of Various Aspect Ratio", *International Journal of Heat and Mass Transfer*, Vol. 53, 2010, pp. 365-375.
- [17] Talukdar P., Shah M., "Analysis of Laminar Mixed Convective Heat Transfer in Horizontal Triangular Ducts", *Numerical Heat Transfer A: Appl.* Vol. 54, 2008, pp. 1148-1168.
- [18] Renksizbulut M., Niazzmand H., "Laminar Flow and Heat Transfer in the Entrance Region of Trapezoidal Channels with Constant Wall Temperature", *J. Heat Transfer*, Vol. 128, 2006, pp. 63-74.
- [19] Niazzmand H., Renksizbulut M., Saeedi E., "Developing Slip-Flow and Heat Transfer in Trapezoidal Microchannels", *Int. J. Heat Mass Transf.* Vol. 51, 2008, pp. 6126-613.
- [20] Sadashivam R., Manglik R. M., Jog M. A., "Fully Developed Forced Convection through Trapezoidal and Hexagonal Ducts", *Int. J. Heat Mass Transfer* Vol. 42, 1999, pp. 4321-4331.
- [21] Rahman M. M., Shevade S. S., "Fluid Flow and Heat Transfer in a Composite trapezoidal Microchannel", Proc. ASME Summer Heat Transfer Conference, 2005, pp. 411-417.
- [22] Wang G., Hao L., Cheng P., "An Experimental and Numerical Study of Forced Convection in a Microchannel with negligible Axial Heat Conduction", *Int. J. Heat Mass Transf.* Vol. 52, 2009, pp. 1070-1074.
- [23] Guo Z. L., Zhao T. S., Shi Y., "A Lattice Boltzmann Algorithm for Electro-Osmotic Flows in Microfluidic Devices", *J. Chem. Phys.* Vol. 122, 2005, pp. 144907-1-144907-10.
- [24] Zhao T. S., Liao Q., "Thermal Effects on Electro-Osmotic Pumping of Liquids in microchannels", *J. Micromech. Microeng.* Vol. 12, 2002, pp. 962-970.
- [25] Absorption Spectrometry", *Talanta*, Vol. 55, 2001, pp. 271-279.
- [26] Mirbozorgi S. A., Niazzmand H., Renksizbulut M., "Electro-Osmotic Flow in Reservoir-Connected Flat Microchannels with Non-Uniform Zeta Potential", *J. Fluids Engineering*, No. 128, 2006, pp. 1133-1143.
- [27] Wang M., Wang J. K., Chen S. Y., Pan N., "Electrokinetic Pumping Effects of Charged Porous Media in Microchannels using the Lattice Poisson-Boltzmann Method", *J. Colloid Interf. Sci.* Vol. 304, 2006, pp. 246-253.
- [28] Rice C. L., Whitehead, R., "Electrokinetic Flow in a Narrow Cylindrical Capillary", *J. Phys. Chem.*, Vol. 69, 1965, pp. 4017-4023.
- [29] Burgreen D., Nakache F. R., "Electrokinetic Flow in Ultra Fine Capillary Slits", *J. Phys. Chem.*, Vol. 68, 1964, pp. 1084-1091.
- [30] Yang C., Li D., "Electrokinetic Effects on Pressure-Driven Liquid Flows in Rectangular Microchannels", *J. Colloid Interface Sci.*, Vol. 194, 1997, pp. 95-107.
- [31] Yang C., Li D., Masliyah J. H., "Modeling Forced Liquid Convection in Rectangular Microchannels with Electrokinetic Effects", *Int. J. Heat Mass Transfer*, Vol. 41, 1998, pp. 4229-4249.
- [32] J. H. Masliyah, "Electrokinetic Transport Phenomena", Alberta Oil Sands Technology and Research Authority, AOSTRA Technical Publication Series No. 12, 1994.
- [33] Karniadakis G., Beskok A., Aluru N., *Microflows and Nanoflows Fundamentals and Simulation*, Second Ed., New York, Springer, 2005.
- [34] Horiuchi K., Dutta P., "Joule Heating Effects in Electroosmotically Driven microchannel Flows", *International Journal of Heat and Mass Transfer*, Vol. 47, 2004, pp. 3085-3095.
- [35] Liao Q., Zhu X., Wen T. Y., "Thermal Effects on Mixed Electro-Osmotic and Pressure Driven Flows in Triangle Microchannels", *App. Thermal Engineering*, Vol. 29, 2008, pp. 807-814.
- [36] Liao Q., Zhu X., Wen T. Y., "Numerical Investigation of Electro-Osmotic Flows in Triangle Microchannels", *J. Applied Thermal Engineering*, Vol. 28, 2007, pp. 1463-1470.